

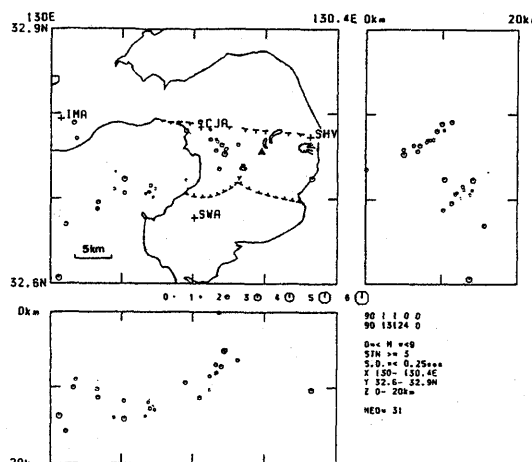
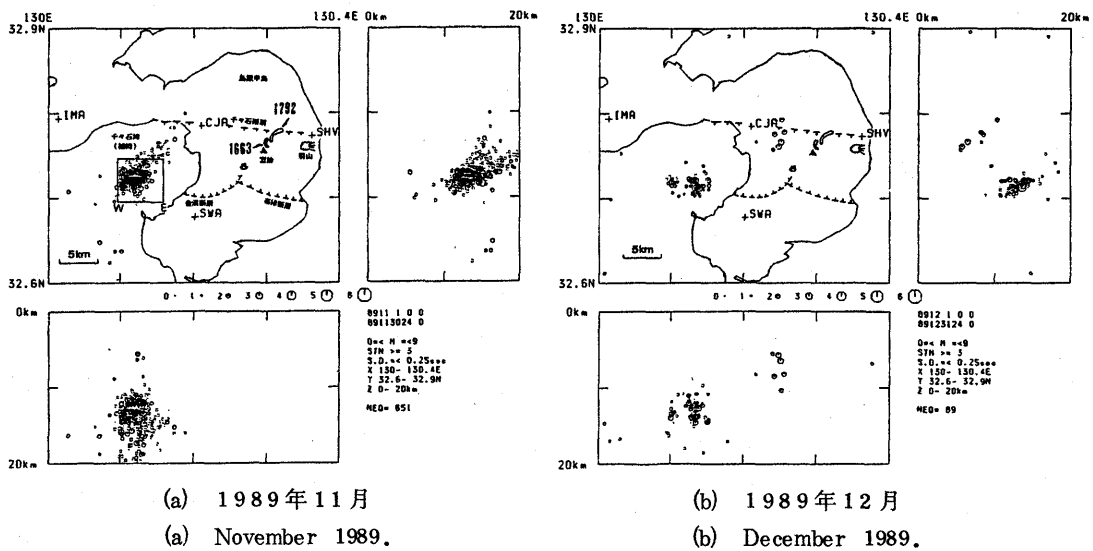
雲仙火山周辺の地震活動 (1989年11月～1990年1月)*

九州大学理学部附属
島原地震火山観測所

雲仙火山周辺では、1984年の群発地震（最大M 5.7）以降、地震発生数の減少傾向が続いていたが、1989年11月21日に千々石湾（橘湾）中央部で群発地震（最大M 3.7）が発生した（第1図、第2図(a)）。今回の千々石湾群発地震の震央域は、1984年群発地震の活動域の西縁付近にあたる。この群発活動は、11月30日と12月10日以降に一時活発化したものの、12月中にはほぼ終息した（第2図(b)）。11月30日以降の活動は初期の震央域の東西端に集中している（第1図(b)、第2図(c)）。主な地震の発震機構はほぼ南北の張力軸を持つが、活動初期には正断層型、後期（活動域東端部）では横ずれ型が卓越している（第2図(c)）。

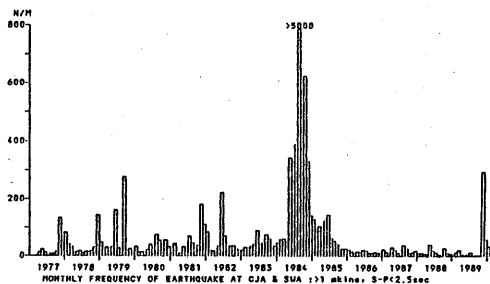
また、1989年12月から1990年1月にかけて雲仙西麓～北西麓で微小地震活動があった（第1図(b)(c)）。これは、1984年以降で雲仙火山の山頂火口に最も近接した地震活動であった。しかし、現在のところ雲仙火山の表面活動に異常は認められていない。

* Received Mar. 2, 1990



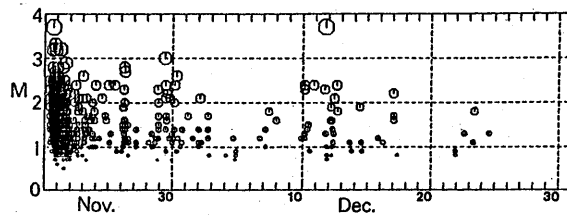
第1図 雲仙火山周辺の震源分布(1989年11月～1990年1月)

Fig.1 Hypocenter distribution in the Unzen Volcanic area (November 1989-January 1990).



(a) 雲仙火山周辺の月別地震発生数

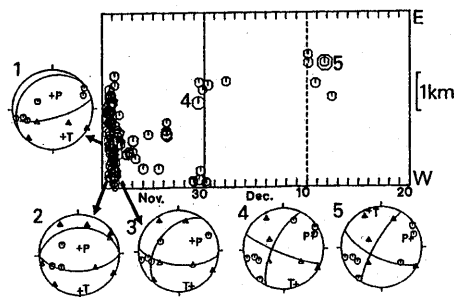
(a) Monthly frequency of earthquakes in the Unzen volcanic area since 1977.



(b) M-T図

千々石湾群発地震の震央域（第1図(a)の四角い枠内）における、1989年11月21日以降の群発地震活動の推移

(b) Magnitude-time diagram of the swarm activity within the rectangle in Fig. 1(a) from Nov. 21 to Dec. 31, 1989.



(c) 群発地震活動の時空間分布と発震機構。

発震機構解は下半球等積投影。

震源球上の丸は引き、三角は押し。

(c) Space-time plot of the earthquakes ($M > 2$) within the same area as (b), and focal mechanism solutions for 5 main earthquakes in the swarm. Circles and triangles indicate downward and upward first motions respectively, and they are plotted using equal area projection on the lower focal hemisphere.

第2図 1989年11月～12月千々石湾(橘湾)群発地震

Fig. 2 An earthquake swarm at the Chijiwa (Tachibana) Bay in Nov.-Dec. 1989.